

# 楕円曲線上の離散対数問題 Elliptic Curve Discrete Logarithm Problem

計算アルゴリズムの実装と比較  
Implementation and Comparison of Algorithms for Computing the ECDLP

潮谷 真奈

早稲田大学大学院 基幹理工学研究科  
数学応用数理専攻 2年 楕研究室

2020年2月7日

- 概要
- 楕円曲線
- 楕円曲線の群構造
- 楕円曲線離散対数問題 (ECDLP)
- ECDLP に対する攻撃アルゴリズム
- 実験
- 結論と考察
- 参考文献

## 楕円曲線暗号

- 1985 年頃, N.Koblitz と V.S.Miller が提案 ([7]p376).
- 従来の RSA 暗号や ELGamal 暗号より安全性に優れたものとして, インターネットの暗号通信などに広く使われている ([2]p11, [1]p53).
- 根拠: 楕円曲線上の離散対数問題 (ECDLP) の困難性

### 計算アルゴリズム

- 総当たり法
- Shanks' Babystep-Giantstep Algorithm
- Pollard's  $\rho$  algorithm

### 研究の目的

- 各アルゴリズムのステップ数と計算時間の測定
- 最も効率的なアルゴリズムはどれか調べる
- 仮想通貨ビットコインに使用されている楕円曲線暗号の安全性について考察 (解読に要する時間の予測)

## 定義 (楕円曲線)

$K$  を体,  $\bar{K}$  を  $K$  の代数閉体とする.

種数 1 の非特異な代数曲線を, 楕円曲線という. 射影平面曲線としては, 以下のように書ける.

$$E : Y^2Z + a_1XYZ + a_3YZ^2 = X^3 + a_2X^2Z + a_4XZ^2 + a_6Z^3$$
$$(a_1, a_2, a_3, a_4, a_6 \in \bar{K})$$

この楕円曲線は必ず, 無限遠点  $[0 : 1 : 0]$  を通る. これを  $O$  と表記する.

- 簡単のため,  $x = \frac{X}{Z}, y = \frac{Y}{Z}$  とおいてアフィン座標に変換した
$$y^2 + a_1xy + a_3y = x^3 + a_2x^2 + a_4x + a_6$$
を定義式として用いる.

- $a_1, a_2, a_3, a_4, a_6 \in K$  のとき,  $E$  は  $K$  上の楕円曲線であるといい,  $E/K$  と表記する.

- $E$  の  $K$  有理点の集合を

$$E(K) = \{(x, y) \in K^2 \mid y^2 + a_1xy + a_3y = x^3 + a_2x^2 + a_4x + a_6\} \cup \{O\}$$

と表記する.

$\text{char}(K) \neq 2, 3$  のとき, より簡単な形の式で表される曲線に変換できる ([5]p16).

## Weierstrass の標準形

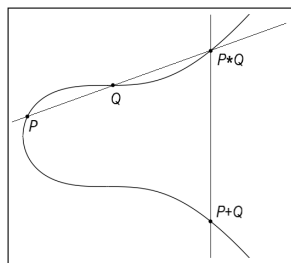
方程式  $y^2 = x^3 + ax + b$  を, Weierstrass の標準形という.

今後は  $\text{char}(K) \neq 2, 3$  の場合についてのみ考え, Weierstrass の標準形によって定義される楕円曲線  $E/K$  を扱う.

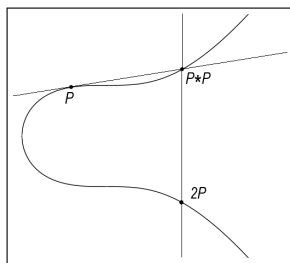
# 楕円曲線の群構造

Bézout の定理より, 射影空間において楕円曲線と直線は (重複度を含めて) ちょうど 3 点で交わる.

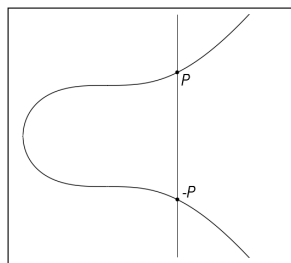
→  $E(K)$  は, 以下で定義される  $+$  を二項演算,  $O$  を単位元とする可換群とみなせる ([6]p187).



$P + Q$



$2P$



$-P$

# 楕円曲線離散対数問題 (ECDLP)

## 定義 (楕円曲線上の離散対数)

$P \in E(\mathbb{F}_q)$  について,  $\langle P \rangle \subset E(\mathbb{F}_q)$  を点  $P$  によって生成される巡回部分群とおく. このとき, 任意の  $Q \in \langle P \rangle$  に対して,

$$\log_P Q = \min\{j \in \mathbb{Z}_{\geq 0} \mid Q = jP\}$$

を,  $P$  を底とする  $Q$  の離散対数という.  
また,  $P$  をベースポイントという.

# 楕円曲線離散対数問題 (ECDLP)

## 定義 (楕円曲線上の離散対数問題 (ECDLP))

$P$  と  $Q$  が与えられたとき, 離散対数  $\log_P Q$  を求める問題を, 楕円曲線上の離散対数問題 (ECDLP) という.

$P$  の位数に大きな素数が含まれる場合, ECDLP は (一部の特殊な楕円曲線を除き) 解読が困難な問題とされてる ([1]p75).

→ これを利用した楕円曲線暗号は, RSA 暗号や ElGamal 暗号より安全性に優れ, 現在はインターネットの暗号通信プロトコルやビットコインにおけるデジタル署名などに利用されている ([2]p11,[4]).

# ECDLP に対する攻撃アルゴリズム

## -総当たり法-

### 総当たり法

$P, 2P, 3P, \dots$  と順に計算して  $\log_P Q$  を求める解法.

本章では, ECDLP を解読するためのより効率的な方法について述べる.

以下,  $P$  の位数を  $n$  とおく.

# ECDLP に対する攻撃アルゴリズム

## -Shanks' Babystep-Giantstep Algorithm-

### 定理 ([7]p382)

$N = \lceil \sqrt{n} \rceil = \min\{m \in \mathbb{Z}_{\geq 0} \mid m \geq \sqrt{n}\}$ ,  $R = -NP$  とおく.

$Q \in \langle P \rangle$  であれば, ある  $0 \leq i, j < N$  が存在し,  $iP = Q + jR$  が成立.

### Shanks' Babystep-Giantstep Algorithm ([7]p382)

- 1  $N = \lceil \sqrt{n} \rceil = \min\{m \in \mathbb{Z}_{\geq 0} \mid m \geq \sqrt{n}\}$ ,  $R = -NP$  を求める.
- 2 Babysteps : Baby リスト  $\{iP \mid 0 \leq i < N\}$  を作成する.
- 3 Giantsteps :  $Q, Q + R, Q + 2R, \dots$  を順に計算し,  
Baby リスト上の点と一致する  $Q + jR$  ( $0 \leq j < N$ ) を  
見つける.
- 4  $iP = Q + jR$  であれば,  $Q = (i + jN)P$  となり,  
 $\log_P Q \equiv i + jN \pmod{n}$  が成立.

$iP = Q + jR$  が見つかるまでのステップ数の期待値 :  $\frac{3}{2}\sqrt{n}$  ([8]p3)

## 定義

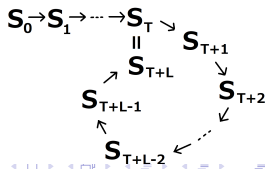
$S_0 \in E(\mathbb{F}_q)$  を起点とし, 点列  $S_1, S_2, \dots$  を

$$f : E(\mathbb{F}_q) \rightarrow E(\mathbb{F}_q),$$

$$S_i = f(S_{i-1}) = \underbrace{f \circ \dots \circ f}_i(S_0)$$

によって定義する. ただし,  $f$  は  $E(\mathbb{F}_q)$  上の点を十分ランダムかつ効率的に定めることができる関数とする.

$E(\mathbb{F}_q)$  は有限群であるから, ある  $t \in \mathbb{Z}_{\geq 0}, l \in \mathbb{N}$  が存在し,  $S_t = S_{t+l}$  が成り立つ. このような  $t, l$  のうち最小のものをそれぞれ  $T, L$  と定義する.



$T + L$  の値の期待値:  $\sqrt{\frac{\pi n}{2}}$  ([7]p383)

関数  $f$  は, 例として以下のように定める.

### 定義 (random mapping $f$ ([9]p206))

- ① 任意の  $m \in \mathbb{N}$  を選び,  $E(\mathbb{F}_q)$  を元の数がおおよそ等しい  $m$  個の集合  $G_1, \dots, G_m$  に直和分割する.
- ②  $a_1, \dots, a_m, b_1, \dots, b_m \in \{0, \dots, n-1\}$  をランダムに選ぶ.  
 $M_l := a_l P + b_l Q$  ( $l \in \{1, \dots, m\}$ )
- ③  $f : E(\mathbb{F}_q) \rightarrow E(\mathbb{F}_q)$ ,  $f(S) = S + M_l$  ( $S \in G_l$ )

Pollard's  $\rho$  algorithm I ([9]p205)

- ①  $a_0, b_0 \in \{0, \dots, n-1\}$  をランダムに選ぶ.  
点列  $(S_i) : S_0 = a_0P + b_0Q, S_i = f(S_{i-1}) (i \in \mathbb{N})$
- ②  $S_1, S_2, S_3, \dots$  と順に求め,  $S_i = S_j (j \in \{0, 1, \dots, i-1\})$  となる  $i$  を見つける.
- ③  $a_iP + b_iQ = a_jP + b_jQ$  であるから,  
 $\gcd((b_j - b_i), n) = 1$  であれば  $\log_P Q \equiv (a_i - a_j)(b_j - b_i)^{-1} \pmod{n}$ .

Shanks' Babystep-Giantstep Algorithm と Pollard's  $\rho$  algorithm I は、一致する点を見つけるためにいくつかの点を保存し続け、新たに求めた点といちいち比較する必要がある。

そこで最後に、保存すべき点の個数をより少なく抑えたアルゴリズムについて述べる。

## 定理 ([7]p382)

ある  $T \leq i' \leq T + L - 1$  が存在し,  $S_{i'} = S_{2i'}$  が成り立つ.

Pollard's  $\rho$  algorithm II ([9]p206)

- ①  $a_0, b_0 \in \{0, \dots, n-1\}$  をランダムに選ぶ.  
 $(S_i) : S_0 = a_0P + b_0Q, S_i = f(S_{i-1})$   
 $(T_i) : T_0 = a_0P + b_0Q, T_i = f \circ f(T_{i-1}) (i \in \mathbb{N})$
- ②  $S_1, T_1, S_2, T_2, \dots$  と順に求め,  $S_i = T_i (= S_{2i})$  となる  $i$  を見つける.
- ③  $a_iP + b_iQ = a_{2i}P + b_{2i}Q$  であるから,  
 $\gcd((b_{2i} - b_i), n) = 1$  であれば  
 $\log_P Q \equiv (a_i - a_{2i})(b_{2i} - b_i)^{-1} \pmod{n}$ .

# ECDLP に対する攻撃アルゴリズム

- Shanks' Babystep-Giantstep Algorithm, Pollard's  $\rho$  algorithm I, II  
... 計算量は全て  $O(\sqrt{n})$   
(保存すべき点が少ない  $\rightarrow$  Pollard's  $\rho$  algorithm II が優れている?)  
  
 $\rightarrow$  計算機を使用して ECDLP の作成・解読を行い、  
ステップ数  $s$  と計算時間  $t$  [ms] を比較した。  
(Pollard's  $\rho$  algorithm については、最適な  $m$  についても考察)
- $n$  が大きい場合、理論的にはステップ数  $s$  が  $\sqrt{n}$  に比例。  
さらに、計算時間  $t$  はステップ数  $s$  に比例?  
 $\rightarrow$  計算時間  $t$  も  $\sqrt{n}$  に比例?  $t/\sqrt{n}$  が定数に収束する?  
  
 $\rightarrow t/\sqrt{n}$  (計算量対時間比と呼ぶ) を求め、  
計算が困難なほど位数の大きな楕円曲線における ECDLP について  
解読に要する時間の予測を試みた。

## アルゴリズム名の表記

- 総当たり法 → 総当たり
- Shanks' Babystep-Giantstep Algorithm → BSGS
- Pollard's  $\rho$  algorithm I ( $m = 3$ ) → Rho-I(3)
- Pollard's  $\rho$  algorithm II ( $m = 3$ ) → Rho-II(3)

## 実験に用いた計算環境

- OS:Windows 10 Pro
- プロセッサ:Intel(R)Core(TM)i7-8650U CPU @1.90GHz 2.11GHz
- 実装 RAM:16.0GB
- システムの種類:64ビットオペレーティングシステム, x64 ベースプロセッサ
- 数式処理プログラム:Sagemath 8.8

以下に従って楕円曲線を選び、 $\log_P Q$ を求める ECDLP を作成した。

① 楕円曲線の定義式：

- $y^2 = x^3 + 7$  (ビットコインに使用されている楕円曲線の定義式)
- $y^2 = x^3 + 2$
- $y^2 = x^3 - 3x + C_N$   
( $C_N := 18958286285566608000408668544493926415504680968679321075787234672564$ )

② 係数体は、以下の条件を満たす  $\mathbb{F}_p$  とした。

- $p$  のビット数は 10, 12, 14,  $\dots$ , 30
- 曲線が non-singular
- 群  $E(\mathbb{F}_p)$  が素数位数の巡回群

③ 点  $P, Q$  をランダムに選ぶ。これを任意の回数行うことで、ECDLP を複数作成した。

## 楕円曲線の定義式の選択は, SafeCurves[10] を参考にした.

### Evaluation targets

The SafeCurves web site reports security assessments of various specific curves. Some of the curves listed on this site are deployed or have been proposed for deployment. Some of the curves are merely toy examples meant to illustrate how curves can fail to meet various security criteria.

"Safe" in the following table means that a curve meets all SafeCurves requirements. The curves are sorted in increasing order of the [prime f](#).

Curve	Safe?	Details
Anomalous	False	$y^2 = x^3 + 15347898055371580090895570721314318823207531963035637503080282x + 7444386449934505870367860204568124728350661670098956340427615$ $\text{modulo } p = 17676318496848993030961583018778670610489016512983351739677143$ Created as an illustration of <a href="#">additive transfer</a> and small discriminant.
M-221	True	$y^2 = x^3 + 117050x^2 + x$ $\text{modulo } p = 2^{221} - 3$ <a href="#">2013 Aranha-Barreto-Pereira-Ricardini</a> (formerly named Curve2213)
E-222	True	$y^2 + y^2 = 1 + 180102x^2y^2$ $\text{modulo } p = 2^{222} - 117$ <a href="#">2013 Aranha-Barreto-Pereira-Ricardini</a>
NIST P-224	False	$y^2 = x^3 - 3x + 1894828823815899500204028695544403826415504890369679321075787234872584$ $\text{modulo } p = 2^{224} - 2^{96} + 1$ <a href="#">2000 NIST</a> ; also in <a href="#">SEC 2</a>
Curve1174	True	$y^2 + y^2 = 1 - 1174x^2y^2$ $\text{modulo } p = 2^{225} - 9$ <a href="#">2013 Bernstein-Hamburg-Krasnova-Lange</a>
Curve25519	True	$y^2 = x^3 + 486662x^2 + x$ $\text{modulo } p = 2^{255} - 19$ <a href="#">2006 Bernstein</a>
BM(2,254)	False	$y^2 = x^3 + 5x^2$ $\text{modulo } p = 1678810873101583228404040414223173300888918712143069848933715426072753884723$ <a href="#">2011 Pereira-Simplicio-Naehrig-Barreto</a> pairing-friendly curve. Included as an illustration of <a href="#">multiplicative transfer</a> and small discriminant.
brainpoolP256r1	False	$y^2 = x^3 - 3x + 462143265950325795930296314359101297467363674492962209834687400401102863727876$ $\text{modulo } p = 78894568307045344220809749620001640093037950200643055203759601445031516107751$ <a href="#">2005 Brainpool</a>
ANSI FRP256v1	False	$y^2 = x^3 - 3x + 1077445411220426888792155207242782455150582764043080114141098834497567301547839$ $\text{modulo } p = 10454571331697278617870725030735128145080349647888738157201323556196022303859$ <a href="#">2011 ANSI</a>
NIST P-256	False	$y^2 = x^3 - 3x + 41058363725152142129328126789047268409114441015993725554832526314039467401201$ $\text{modulo } p = 2^{256} - 2^{128} + 2^{96} - 1$ <a href="#">2000 NIST</a> ; also in <a href="#">SEC 2</a> and <a href="#">NSA Suite B</a>
secp256k1	False	$y^2 = x^3 + 7x^2$ $\text{modulo } p = 2^{256} - 2^{12} - 977$ <a href="#">SEC2</a>
E-382	True	$y^2 + y^2 = 1 - 67254x^2y^2$ $\text{modulo } p = 2^{382} - 105$

## 実験内容

総当たり, BSGS, Rho-I, Rho-II で ECDLP の解読を行い, それぞれのステップ数  $s$  を求めた. ただし, 1 つの  $E/\mathbb{F}_p$  について ECDLP を 1000 問作成して解読し, そのステップ数の平均を, 各アルゴリズムが要したステップ数  $s$  として定めた.

- 定義式 :  $y^2 = x^3 + 7$ ,  $y^2 = x^3 + 2$ ,  $y^2 = x^3 - 3x + C_N$
- Rho-I, Rho-II における直和分割の個数 :  $m = 3, 4, \dots, 50$

# 実験 実験 1

$$y^2 = x^3 + 7 \text{ におけるステップ数}$$

総当たり,BSGS,Rho-I(期待値との比較)

解数	p	547	3511	11839	47017	194119	881539	2744713
n	bit	10	12	14	16	18	20	22
期待値		547	3433	12049	47353	184917	880801	2746617
BSGS		30,082	87,488	164,952	376,431	1,407,909	2,489,749	3633,208
Rho-I		30,313	74,834	138,754	273,250	1,044,331	1,177,368	2079,032
総当たり		273,488	1,886,259	1,207,910	234,015	954,109	4,030,584	13,347,700
BSGS		49,025	167,871	325,885	658,364	1,398,057	2,463,541	
Rho-I		47,948	123,323	240,938	503,749	1,096,188	2,400,395	4537,827
Rho-II		35,838	79,661	141,261	279,740	579,748	1,060,652	2,057,279
Rho-III		35,404	80,995	164,888	326,418	654,931	1,304,207	2,401,537
Rho-IV		34,472	85,763	163,360	325,631	637,797	1,331,963	2,374,895
Rho-V		32,912	83,971	148,607	296,530	616,520	1,280,028	2,357,589
Rho-VI		32,985	81,428	149,780	300,267	587,990	1,284,035	2,352,272
Rho-VII		30,358	82,406	148,680	292,405	577,755	1,251,140	2,350,563
Rho-VIII		32,664	80,762	153,439	299,784	609,567	1,240,031	2,299,169
Rho-IX		32,434	79,290	145,880	293,293	597,774	1,241,638	2,222,169
Rho-X		32,322	78,165	146,949	281,465	599,103	1,235,939	2,104,026
Rho-XI		32,042	79,215	143,234	283,698	569,152	1,220,706	2,106,247
Rho-XII		32,282	77,214	146,387	284,387	581,773	1,211,617	2,160,343
Rho-XIII		31,774	77,314	143,443	285,829	572,197	1,235,438	2,122,745
Rho-XIV		31,792	78,609	143,193	280,801	574,317	1,193,242	2,188,094
Rho-XV		31,466	75,397	145,161	284,538	575,995	1,210,300	2,096,734
Rho-XVI		31,002	76,061	142,861	287,265	567,281	1,245,227	2,158,468
Rho-XVII		30,657	77,178	145,758	280,644	567,035	1,211,766	2,187,406
Rho-XVIII		30,376	75,331	144,431	287,889	571,523	1,206,988	2,143,799
Rho-XIX		31,311	79,287	143,979	283,639	568,427	1,201,996	2,149,878
Rho-XX		31,240	78,428	142,768	284,473	578,346	1,229,791	2,158,766
Rho-XXI		30,823	76,010	142,586	280,452	568,827	1,226,291	2,180,467
Rho-XXII		30,786	77,754	139,872	280,485	577,171	1,176,654	2,175,949
Rho-XXIII		30,683	76,372	143,372	276,264	570,766	1,202,800	2,088,978
Rho-XXIV		30,431	76,264	143,216	273,796	564,792	1,168,795	2,069,492
Rho-XXV		31,585	78,729	143,182	281,161	582,251	1,184,227	2,158,488
Rho-XXVI		30,156	77,263	140,269	279,547	577,939	1,193,366	2,043,145
Rho-XXVII		30,485	77,928	142,828	271,781	558,278	1,187,583	2,118,069
Rho-XXVIII		31,073	75,277	145,646	281,322	572,544	1,218,928	2,147,381
Rho-XXIX		31,048	75,179	142,952	284,724	565,167	1,207,695	2,109,658
Rho-XXX		30,312	75,214	138,753	279,176	561,304	1,254,198	2,172,899
Rho-XXXI		30,998	74,129	141,261	278,364	564,324	1,183,022	2,116,767
Rho-XXXII		30,822	76,669	144,447	281,606	569,109	1,205,295	2,127,349
Rho-XXXIII		30,841	77,577	139,864	278,423	567,395	1,187,295	2,069,279
Rho-XXXIV		31,427	76,723	138,259	278,689	573,307	1,190,072	2,122,811
Rho-XXXV		29,755	74,887	140,457	289,426	567,559	1,190,085	2,146,186
Rho-XXXVI		31,141	76,378	143,139	273,748	559,848	1,203,061	2,112,161
Rho-XXXVII		29,816	75,921	149,392	281,774	574,794	1,167,207	2,124,322
Rho-XXXVIII		30,451	76,451	142,940	280,161	567,142	1,198,999	2,127,648
Rho-XXXIX		29,880	74,606	136,437	274,075	550,474	1,163,311	2,187,336
Rho-XXXX		30,423	76,882	140,981	276,050	561,304	1,184,640	2,043,446
Rho-XXXXI		31,077	76,955	137,873	282,601	573,343	1,183,732	2,159,929
Rho-XXXXII		30,662	76,395	140,279	273,796	564,108	1,195,835	2,193,671
Rho-XXXXIII		30,383	76,281	138,912	276,847	566,927	1,180,467	2,128,154
Rho-XXXXIV		30,869	73,136	134,308	279,089	570,024	1,178,297	2,150,054
Rho-XXXXV		30,422	75,086	139,484	278,585	568,882	1,123,603	2,108,513
Rho-XXXXVI		30,349	75,534	139,286	280,036	570,035	1,206,485	2,082,957
Rho-XXXXVII		30,013	75,854	136,956	277,162	563,093	1,142,667	2,156,667
Rho-XXXXVIII		30,403	76,994	140,644	277,811	571,844	1,196,334	2,077,680

総当たり,BSGS,Rho-II(最多・最少)

解数	p	547	3511	11839	47017	194119	881539	2744713
n	bit	10	12	14	16	18	20	22
期待値		547	3433	12049	47353	184917	880801	2746617
BSGS		30,082	87,488	164,952	376,431	1,407,909	2,489,749	3633,208
Rho-I		30,313	74,834	138,754	273,250	1,044,331	1,177,368	2079,032
総当たり		273,488	1,886,259	1,207,910	234,015	954,109	4,030,584	13,347,700
BSGS		49,025	167,871	325,885	658,364	1,398,057	2,463,541	
Rho-I		47,948	123,323	240,938	503,749	1,096,188	2,400,395	4537,827
Rho-II		35,838	79,661	141,261	279,740	579,748	1,060,652	2,057,279
Rho-III		35,404	80,995	164,888	326,418	654,931	1,304,207	2,401,537
Rho-IV		34,472	85,763	163,360	325,631	637,797	1,331,963	2,374,895
Rho-V		32,912	83,971	148,607	296,530	616,520	1,280,028	2,357,589
Rho-VI		32,985	81,428	149,780	300,267	587,990	1,284,035	2,352,272
Rho-VII		30,358	82,406	148,680	292,405	577,755	1,251,140	2,350,563
Rho-VIII		32,664	80,762	153,439	299,784	609,567	1,240,031	2,299,169
Rho-IX		32,434	79,290	145,880	293,293	597,774	1,241,638	2,222,169
Rho-X		32,322	78,165	146,949	281,465	599,103	1,235,939	2,104,026
Rho-XI		32,042	79,215	143,234	283,698	569,152	1,220,706	2,106,247
Rho-XII		32,282	77,214	146,387	284,387	581,773	1,211,617	2,160,343
Rho-XIII		31,774	77,314	143,443	285,829	572,197	1,235,438	2,122,745
Rho-XIV		31,792	78,609	143,193	280,801	574,317	1,193,242	2,188,094
Rho-XV		31,466	75,397	145,161	284,538	575,995	1,210,300	2,096,734
Rho-XVI		31,002	76,061	142,861	287,265	567,281	1,245,227	2,158,468
Rho-XVII		30,657	77,178	145,758	280,644	567,035	1,211,766	2,187,406
Rho-XVIII		30,376	75,331	144,431	287,889	571,523	1,206,988	2,143,799
Rho-XIX		31,311	79,287	143,979	283,639	568,427	1,201,996	2,149,878
Rho-XX		31,240	78,428	142,768	284,473	578,346	1,229,791	2,158,766
Rho-XXI		30,823	76,010	142,586	280,452	568,827	1,226,291	2,180,467
Rho-XXII		30,786	77,754	139,872	280,485	577,171	1,176,654	2,175,949
Rho-XXIII		30,683	76,372	143,372	276,264	570,766	1,202,800	2,088,978
Rho-XXIV		30,431	76,264	143,216	273,796	564,792	1,168,795	2,069,492
Rho-XXV		31,585	78,729	143,182	281,161	582,251	1,184,227	2,158,488
Rho-XXVI		30,156	77,263	140,269	279,547	577,939	1,193,366	2,043,145
Rho-XXVII		30,485	77,928	142,828	271,781	558,278	1,187,583	2,118,069
Rho-XXVIII		31,073	75,277	145,646	281,322	572,544	1,218,928	2,147,381
Rho-XXIX		31,048	75,179	142,952	284,724	565,167	1,207,695	2,109,658
Rho-XXX		30,312	75,214	138,753	279,176	561,304	1,254,198	2,172,899
Rho-XXXI		30,998	74,129	141,261	278,364	564,324	1,183,022	2,116,767
Rho-XXXII		30,822	76,669	144,447	281,606	569,109	1,205,295	2,127,349
Rho-XXXIII		30,841	77,577	139,864	278,423	567,395	1,187,295	2,069,279
Rho-XXXIV		31,427	76,723	138,259	278,689	573,307	1,190,072	2,122,811
Rho-XXXV		29,755	74,887	140,457	289,426	567,559	1,190,085	2,146,186
Rho-XXXVI		31,141	76,378	143,139	273,748	559,848	1,203,061	2,112,161
Rho-XXXVII		29,816	75,921	149,392	281,774	574,794	1,167,207	2,124,322
Rho-XXXVIII		30,451	76,451	142,940	280,161	567,142	1,198,999	2,127,648
Rho-XXXIX		29,880	74,606	136,437	274,075	550,474	1,163,311	2,187,336
Rho-XXXX		30,423	76,882	140,981	276,050	561,304	1,184,640	2,043,446
Rho-XXXXI		31,077	76,955	137,873	282,601	573,343	1,183,732	2,159,929
Rho-XXXXII		30,662	76,395	140,279	273,796	564,108	1,195,835	2,193,671
Rho-XXXXIII		30,383	76,281	138,912	276,847	566,927	1,180,467	2,128,154
Rho-XXXXIV		30,869	73,136	134,308	279,089	570,024	1,178,297	2,150,054
Rho-XXXXV		30,422	75,086	139,484	278,585	568,882	1,123,603	

ステップ数  $s$  について

- ステップ数が最少：Rho-II ( $m$  の値は十分大きくとる必要がある.)
- 総当たりは、他のアルゴリズムに比べてステップ数が著しく多い。

$f$  における直和分割の個数  $m$  について

- Rho-I, II 共に,  $m$  が小さいほどステップ数が多くなる傾向があった。
- 「期待値との差が大きい 5 つ」と「ステップ数が多い 5 つ」が一致。  
「期待値との差が小さい 5 つ」と「ステップ数が少ない 5 つ」は、分布の様子が似ていた。
- 期待値との差が大きい 5 つは  $m \leq 10$ ,  
期待値との差が小さい 5 つは  $m \geq 16$  の範囲に分布。

## 実験内容

総当たり, BSGS, Rho-I, Rho-II で ECDLP の解読を行い, それぞれの計算時間  $t$  を求めた. ただし, 1 つの  $E/\mathbb{F}_p$  について ECDLP を 30 問作成・解読して計算時間の平均を求め, それを各アルゴリズムが要した計算時間  $t$  (ms) として定めた.

さらに, BSGS, Rho-I, Rho-II については 計算量対時間比  $t/\sqrt{n}$  を求め, 比較した.

- 定義式 :  $y^2 = x^3 + 7$
- Rho-I と Rho-II における直和分割の個数 :  $m = 3, 8, 20$

( $m$  の値は, Pollard[11]p918, Sattler and Schnorr[12]p66, Teske[13]p1644 を参考に選択)

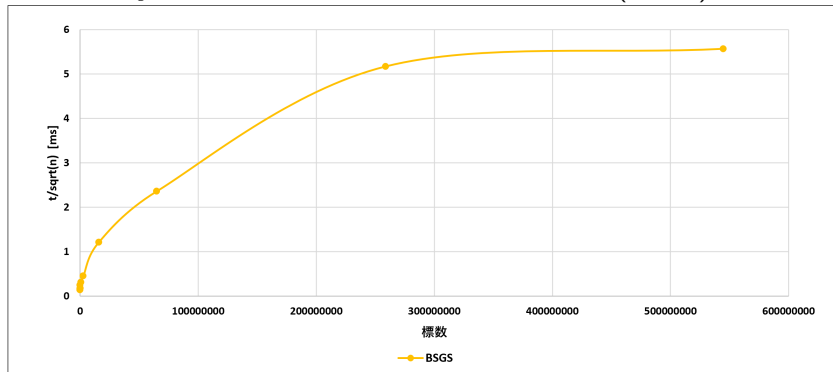
## $y^2 = x^3 + 7$ における計算時間

標数	p	547	3511	11839	47017	194119	881539	2744713	15801199	64971103	258652951	544707991
	bit	10	12	14	16	18	20	22	24	26	28	30
n		547	3433	12049	47353	194917	880981	2746417	15798577	64976101	258684961	544722709
t [ms]	総当たり	9.27	56.2	196	780	2380	11500	32300				
	BSGS	5.80	8.25	15.3	37.4	78.4	296	754	4810	19000	83100	130000
	Rho-I(3)	6.16	15.1	40.8	136	371	1720	6540	46900	158000		
	Rho-I(8)	8.76	14.0	23.7	52.2	205	407	2530	11400	37100		
	Rho-I(20)	17.9	24.6	42.2	69.2	160	552	1430	9770	38400		
	Rho-II(3)	7.88	15.2	25.1	43.4	76.3	178	286	714	1330	3270	4410
	Rho-II(8)	9.54	16.7	23.0	35.0	63.1	119	184	380	708	1660	2600
	Rho-II(20)	18.0	27.1	35.7	52.6	73.0	126	215	430	825	1620	2140

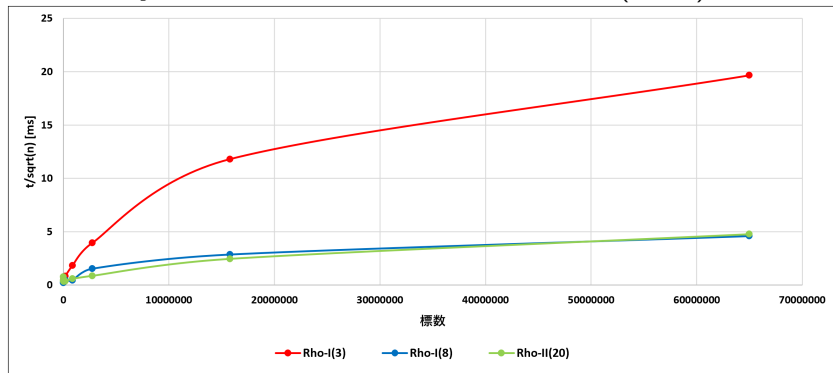
## $y^2 = x^3 + 7$ における計算量対時間比

標数	p	547	3511	11839	47017	194119	881539	2744713	15801199	64971103	258652951	544707991
	bit	10	12	14	16	18	20	22	24	26	28	30
n		547	3433	12049	47353	194917	880981	2746417	15798577	64976101	258684961	544722709
t/sqrt(n) [ms]	BSGS	0.248	0.141	0.139	0.172	0.178	0.315	0.455	1.21	2.36	5.17	5.57
	Rho-I(3)	0.263	0.257	0.372	0.623	0.840	1.83	3.94	11.8	19.7		
	Rho-I(8)	0.375	0.239	0.216	0.240	0.465	0.434	1.53	2.86	4.60		
	Rho-I(20)	0.767	0.420	0.385	0.318	0.362	0.588	0.867	2.46	4.77		
	Rho-II(3)	0.337	0.259	0.229	0.199	0.173	0.189	0.173	0.180	0.165	0.203	0.189
	Rho-II(8)	0.408	0.285	0.210	0.161	0.143	0.127	0.111	0.0956	0.0878	0.103	0.111
	Rho-II(20)	0.768	0.462	0.325	0.242	0.165	0.134	0.130	0.108	0.102	0.100	0.0918

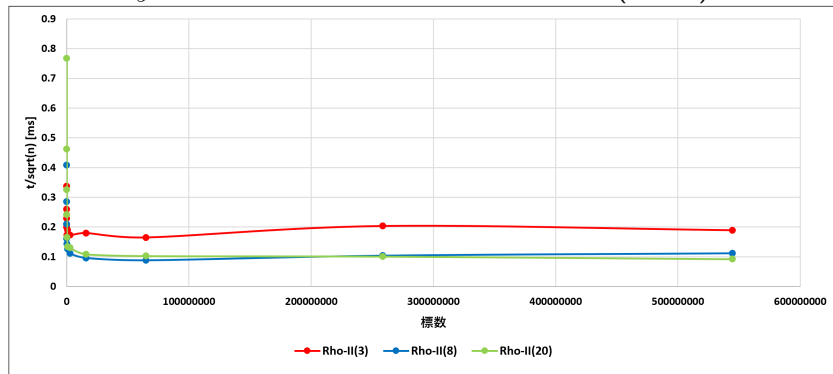
$y^2 = x^3 + 7$  における計算量対時間比 (BSGS)



$y^2 = x^3 + 7$  における計算量対時間比 (Rho-I)



## $y^2 = x^3 + 7$ における計算量対時間比 (Rho-II)



計算時間  $t$  について

- 計算時間が最短のアルゴリズムは  
14 ビット以下 : BSGS  
16~26 ビット : Rho-II(8)  
28 ビット以上 : Rho-II(20)
- 総当たりは, 12 ビット以上においては常に最長.

$f$  における直和分割の個数  $m$  について

- Rho-I において,  
14 ビット以下 :  $m = 20$  の計算時間が最長.  
16 ビット以上 :  $m = 3$  が最長.
- Rho-II についても, 16・18 ビットを境目として同様の逆転現象.

計算量対時間比  $t/\sqrt{n}$  について

- BSGS, Rho-II : 標数を大きくすると計算量対時間比が収束する傾向.

- 標数が大きい場合, ステップ数・計算時間共に Rho-II が最も効率的であった.  
(ただし, 直和分割の個数  $m$  は十分大きくとる必要がある.)
- Rho-I と Rho-II について,  $m = 3, 8, 20$  を比べると  
ステップ数 : 常に  $m = 20$  が最も少ない  
計算時間 : 標数が小さい場合においては  $m = 20$  が最も長い  
→ 関数  $f$  の定義にかかる時間などが影響  
( $m$  が大きいほど,  $f$  の定義のために多くのランダムな点  $M_1, M_2, \dots, M_m$  を求める必要がある.)
- 「十分にランダムで効率的な関数  $f$ 」の実現には,  
 $m \geq 11$  であることが必要であり, 特に  $m \geq 16$  が望ましい.

- Rho-II(20) : 標数を大きくすると計算量対時間比が定数に近づく傾向。  
(30 ビットで  $t/\sqrt{n} = 0.0918$ , 挙動が既に安定.)
- ビットコインに使用されている楕円曲線「secp256k1」  
(定義式 :  $y^2 = x^3 + 7$ , 標数 256 ビット ([4],[10])) について考えた.

今回と同様の実験環境で, Rho-II(20) を用いて解読を行った場合,  
計算量対時間比は約 0.0918 になると考えられる.

$t/\sqrt{n} = 0.0918$  と仮定し, secp256k1 の位数  $n$  をもとに計算した結果,  
ECDLP の解読に約  $9.91 \times 10^{26}$  年かかると予測できた.  
(ちなみに, 宇宙の誕生が約  $1.38 \times 10^{10}$  年前 ([14]). )

- 実用的な楕円曲線暗号についてより正確な情報を得るためには, さらに多くの試行と標数の拡大を行うことが必要.

# 参考文献

- [1] 辻井重男, 笠原正雄編著: 暗号理論と楕円曲線. 森北出版, 2008.
- [2] 清藤武暢: 次世代公開鍵暗号「楕円曲線暗号」とその適切な活用に向けて. 第 14 回情報セキュリティ・シンポジウム, 2012.
- [3] EdLyn Teske: *Speeding Up Pollard's Rho Method for Computing Discrete Logarithms*. Algorithmic number theory, 1998.
- [4] *Bitcoin* 日本語情報サイト. <https://jpbitcoin.com/>
- [5] Alfred J. Menezes and Neal Koblitz: *Elliptic Curve Public Key Cryptosystems*. Springer Science+Business Media, 1993.
- [6] 川又雄二郎: 射影空間の幾何学. 朝倉書店, 2001.
- [7] J. H. Silverman: *The Arithmetic of Elliptic Curves*. 2nd Edition, GTM106, Springer, 2016.
- [8] Steven D. Galbraith, Ping Wang and Fangguo Zhang: *Computing Elliptic Curve Discrete Logarithms with Improved Baby-step Giant-step Algorithm*. Adv. Math. Commun. 11(2017), no. 3.
- [9] 宮地充子: 代数学から学ぶ暗号理論. 日本評論社, 2012.
- [10] *SafeCurves: choosing safe curves for elliptic-curve cryptography*. <http://safecurves.cr.yt.to/>
- [11] J. M. Pollard: *Monte Carlo Methods for Index Computation (mod p)*. Mathematics of Computation, volume 32, no.143, 1978, 918–924.
- [12] J. Sattler and C. P. Schnorr: *Generating Random Walks in Groups*. Ann. Univ. Sci. Budapest. Sect. Comput. 6, 1985.
- [13] EdLyn Teske: *A Space Efficient Algorithm for Group Structure Computation*. Mathematics of Computation, volume 67, no.224, 1998, 1637–1663.
- [14] European Space Agency: *Cosmic Detectives*. 2013.  
[https://www.esa.int/Science\\_Exploration/Space\\_Science/Cosmic\\_detectives](https://www.esa.int/Science_Exploration/Space_Science/Cosmic_detectives)
- [15] J. H. シルバーマン, J. テイト著: 楕円曲線論入門. 足立恒雄, 木田雅成, 小松啓一, 田谷久雄 訳, 丸善出版, 2001.
- [16] *sonickun.log*. <http://sonickun.hatenablog.com/>
- [17] 小暮昭仁: 有限体上での楕円曲線の有理点群位数計算. 早稲田大学大学院修士論文, 2019.      